

拟南芥 WRKY2 转录调控因子可能参与调控渗透胁迫反应*

江文波^{1,2}, 余迪求^{1**}

(1 中国科学院西双版纳热带植物园, 云南 昆明 650223; 2 中国科学院研究生院, 北京 100049)

摘要: 拟南芥 WRKY2 蛋白定位于细胞核, 表明 WRKY2 是转录调控因子。WRKY2 在不同器官组织中的表达分析显示在叶的表达量是最高的。在各种逆境条件下的表达分析显示: WRKY2 的表达受 NaCl 和甘露醇比较强的诱导; KCl、LiCl、CaCl₂ 和 NaH₂PO₄ 均不诱导 WRKY2 的表达; ABA 处理基本上不影响 WRKY2 基因的表达; 另外, WRKY2 的表达也不受病原菌、冷害和高温的诱导。这些结果表明 WRKY2 可能在 NaCl 和甘露醇引起的渗透胁迫反应中起一定的作用。

关键词: AtWRKY2; 转录调控因子; NaCl; 甘露醇; 渗透胁迫

中图分类号: Q 945

文献标识码: A

文章编号: 0253-2700 (2009) 05-427-06

Arabidopsis WRKY2 Transcription Factor may be Involved in Osmotic Stress Response

JIANG Wen-Bo^{1,2}, YU Di-Qiu^{1**}

(1 Xishuangbanna Tropical Botanical Garden, Chinese Academy of Sciences, Kunming 650223, China;

2 Graduate University of Chinese Academy of Sciences, Beijing 100049, China

Abstract: The fact that *Arabidopsis* WRKY2 protein was nuclear-localized supported that WRKY2 functioned as a transcription factor. The expression levels of WRKY2 in leaves were the highest in all tissues. The expression profile indicated that the expression levels of WRKY2 were elevated by NaCl and mannitol treatments, while which were not induced by other treatments including KCl, LiCl, CaCl₂, NaH₂PO₄, pathogenic germs, cold, heat and ABA. These results suggested that WRKY2 might be involved in osmotic stress induced by NaCl and mannitol.

Key words: AtWRKY2; Transcription factor; NaCl; Mannitol; Osmotic stress

转录调控因子 WRKY 基因家族是植物特有的超级基因家族, 在拟南芥 (*Arabidopsis thaliana*) 中发现了 70 多个成员 (Dong 等, 2003; Eulgem 等, 2000, 2007)。WRKY 蛋白质含有高度保守的氨基酸序列 WRKYCQK 和 Cys₂His₂ 或 Cys₂HisCys 锌指型结构 (Dong 等, 2003; Eulgem 等, 2000)。WRKY 蛋白质通过特异地结合靶基因启动子区域的特异序列 TGACC (A/T (W 盒) 而调节靶基因的表达 (Ulker and Somssich, 2004; Yu 等, 2001)。

许多研究表明 WRKY 基因调控植物生物逆境反应。有许多 WRKY 基因调控水杨酸介导的抗病反应 (Asai 等, 2002; Chen and Chen, 2000; Della-gi 等, 2000; Eulgem 等, 2000; Kim 等, 2000), 除此之外, WRKY 基因也参与了伤害反应的调控 (Hara 等, 2000)。WRKY 基因还调控植物非生物抗逆性反应。如冻害 (Huang and Duman, 2002)、冷害 (Seki 等, 2002)、高温 (Rizhsky 等, 2002)、氧化胁迫 (Rizhsky 等, 2004)、干旱 (Pnueli 等,

* 基金项目: 国家高科研究发展计划 (863 计划 (2006AA02Z129)、中国科学院“百人计划”择优支持、云南省自然科学基金 (2003C0342M) 和中国科学院基金项目 (KSCX2-YW-N-007)

** 通讯作者: Author for correspondence; E-mail: ydq@xtlg.ac.cn

收稿日期: 2009-03-12, 2009-05-06 接受发表

作者简介: 江文波 (1977-男, 在读博士研究生, 主要从事植物基因功能分析研究。E-mail: jwb2001108@163.com)

© 1994-2012 China Academic Journal Electronic Publishing House. All rights reserved. http://www.cnki.net

2002; Rizhsky 等, 2002 及盐害 (Jiang and Deyholos, 2009; Seki 等, 2002 等。*WRKY* 基因调控植物的代谢, 例如花青素和淀粉的合成 (Johnson 等, 2002; Sun 等, 2003)。也有一些研究表明, *WRKY* 基因调控植物的生长发育, 如胚胎 (Lagace and Matton, 2004)、种子大小 (Luo 等, 2005), 种皮和毛状体的发育 (Ishida 等, 2007; Johnson 等, 2002)、衰老 (Hinderhofer and Zentgraf, 2001; Miao and Zentgraf, 2007; Robatzek and Somssich, 2001 等)。

Dong 等 (2003) 的研究表明: *WRKY2*、*WRKY34* 和 *WRKY44* 的氨基酸序列的相似性程度高, *WRKY34* 特异地在小孢子和雄配子体中表达 (Honys 等, 2006)。到目前为止, *WRKY2* 基因功能方面的研究未见报道。我们按照反向遗传学的研究思路, 分析基因的表达谱, 以初步推测基因的功能。实验结果表明 *WRKY2* 可能在 NaCl 和甘露醇引起的渗透胁迫反应中起一定的作用。

1 材料和方法

1.1 材料

实验使用的拟南芥为野生哥伦比亚生态型 (*Arabidopsis thaliana* Col.), 拟南芥种子表面灭菌后均匀散布在 MS 培养基 (含 0.7% agar, 4℃春化 3 天后转移到 22℃培养箱培养 5 天移栽到土里。培养条件为 22℃, 相对湿度 50%, 光照周期 10 光照/14 黑暗 (光照时间 8:30~18:30)。用于各种逆境处理表达分析的野生型叶片为 3 周苗龄, 处理后液氮冷冻 -80℃ 保存。各器官组织的材料从同一批种植的野生型获得。用于亚细胞定位分析的烟草 (*Nicotiana benthamiana*), 生长条件与拟南芥一样。用 4 周苗龄的叶片用于注射农杆菌。

1.2 核酸的提取及 *AtWRKY2* cDNA 的克隆

用 TRIZOL 试剂盒 (BRL Life Technologies, Rockville, MD) 提取总 RNA。根据 NCBI 公布的 ATSG56270 序列设计用于 *WRKY2* cDNA 克隆的引物分别为 A: 5'-AAACCAT-GGCTGGTTTGATGAAAATG-3', B: 5'-AAAGGATCCTCAA-ATCTGAGGTAACTACTCATGA-3'。首先将 RNA 用 DNA 酶处理, 再使用 2 μg RNA 样品和引物 B 进行反转录, 反转录产物取 1 μl 进行 PCR。PCR 产物 DNA 电泳后片段胶回收。以上所用试剂均由 Fementas 公司生产。

1.3 质粒构建与农杆菌转化

为了在 *E. coli* 表达 *WRKY2* 蛋白, 用 NcoI 和 BamHI 酶切 *WRKY* cDNA 后插入 pEF-32a 表达载体 (Novagen, 然后转入 BL21 (DE3)。为了检测 *WRKY2* 蛋白的亚细胞定位, 首先用

引物 5'-AAACCATGGGATCCGAGATGGTGA GCAAGGGCGA-3', 5'-AAATCTAGATTACTGTACAGCTCGTCATGCCGAG-3', 以 pBIEGFP (Clontech 载体为模板扩增出 EGFP 片段, 然后用引物 5'-AAACCATGGCTGGTTTGATGAAATG-3' 和 5'-AAAGGATCCAATCTGAGGTAACTACTG-3' 获得 *WRKY2* cDNA, 用 NcoI 和 BamHI 酶切插入在 EGFP 的 5' 端。构建表达载体, 转入 *Agrobacterium tumefaciens* (strain GV3101)。

1.4 亚细胞定位

将含有 *WRKY2*-EGFP 和 EGFP 的 *Agrobacterium tumefaciens* (strain GV3101 在 LB (含有 10 mmol L⁻¹ MES 和 20 μmol L⁻¹ 乙酰丁香酮) 中培养过夜, 离心后重新悬浮在 10 mmol L⁻¹ MES-NaOH, pH 5.6 和 10 mmol L⁻¹ MgCl₂ 中。调整溶液的 OD600 为 0.5, 然后加入乙酰丁香酮使其浓度为 150 μmol L⁻¹, 在 22℃ 保育 2 h。将准备好的农杆菌直接注射入烟草叶片, 40 h 后用激光共聚焦显微镜观测结果。

1.5 Northern 杂交

3 周苗龄的叶片用 NaCl (300 mmol L⁻¹)、mannitol (300 mmol L⁻¹)、ABA (100 μmol L⁻¹)、KCl (300 mmol L⁻¹)、LiCl (40 mmol L⁻¹)、CaCl₂ (100 mmol L⁻¹) 和 NaH₂PO₄ (300 mmol L⁻¹) 采用离体水溶液浸泡处理。PSCDC3000 处理: 采用 10 mmol L⁻¹ MgCl₂ 稀释到 OD600 = 0.001, 活体注射。冷害采用 0℃ 黑暗条件下离体处理, 高温处理采用 42℃ 活体处理。用 TRIZOL 试剂盒 (BRL Life Technologies, Rockville, MD) 提取总 RNA。使用 1.5% 甲醛-MOPS 琼脂糖凝胶分离总 RNA 后, 转移到尼龙膜上。杂交温度为 68℃; 杂交液选用 Perfect HybTM Plus buffer (Sigma-Aldrich; 使用 *WRKY2*cDNA 的后 1 000 bp 做探针; 探针通过 klenow fragment (Takara) 进行³²P-dATP 标记。洗膜: 2×SSC 和 0.5% SDS, 每次 10 min, 1 次; 0.5 × SSC 和 0.1% SDS, 2 次, 每次 20 min; 0.1 × SSC 和 0.1% SDS, 每次 20 min, 1 次。最后压片放射自显影。

1.6 定量 RT-PCR

从 4 周苗龄的野生型拟南芥获得了根、茎、叶、花和荚果, 用 TRIZOL 试剂盒提取总 RNA, 并进行 DNase I 消化, 用来进行定量 RT-PCR 实验。定量 RT-PCR 的引物为 *WRKY2* (ATSG56270 : 5'-TTCTCTGGTTACGATG-3' 和 5'-CACAACAACTCTGGCTG-3'; *ACT2* (AT3G18780 : 5'-TGTGCCAACCTACGAGGGT-3' 和 5'-TTTCCCGCTCTGCT-GTTGT-3')。反转录总体系为 20 μl 包含 1 μg 总 RNA, 每个反转录产物用水稀释 20 倍, 然后取 2 μl 用作 PCR 模板, 其它反转录产物 -80℃ 保存。定量 PCR 的反应体 (10 μl : 1 μl SYBR Green I 反应混合物, 3 mmol L⁻¹ MgCl₂, 每条引物各 0.5 μmol L⁻¹ 和 2 μl cDNA。退火温度为 50℃, 在 Roche LightCycler real-time PCR 仪上进行了定量 PCR 实验。整个定量 PCR 实验用不同的 RNA 样品重复 3 次。

2 结果与分析

2.1 拟南芥 WRKY2 基因的蛋白结构和亚细胞定位

拟南芥 WRKY2 蛋白由 687 氨基酸组成, 分子量为 74.561 kD, 预测的等电点为 5.71。WRKY2 蛋白含有 2 个高度保守的氨基酸序列 WRKYGQK 和 2 个 Cys₂His₂ 锌指型结构 (图 1)。WRKY2 作为一个转录调控因子, 它的蛋白可能定位于细胞核

里。序列分析表明 WRKY2 具有一个典型的核定位信号 (图 1)。为了检测 WRKY2 蛋白的亚细胞定位, 我们构建了 WRKY2-EGFP 表达载体, 农杆菌直接注射烟草 (*Nicotiana benthamiana*), 激光共聚焦显微镜观测显示: EGFP 蛋白在细胞质和细胞核里均大量存在, 而 WRKY2-EGFP 融合蛋白特异地定位于细胞核 (图 2)。

MAGFDENVAVMGEWVPRSPSPGTLFSSAIGEEKSSKRVLERELSLNHGQVIGLEEDTSSN
HNKDSQSNSNVFRGLSERIAARAGFNAPRLNTENIRNTDFSIDSNLRSPLCTISSPGLSPAT
LLESPVFLSNPLAQPSPTTGKFPFLPGVNNGNALSSAKDEFFDDIGASFSFHPVSRSSSSSFF
QGTTEMMMSVDYGNYNRRSSSHQSAAEVKPGENIESSNLGYIETDNQNGQNKTSDVTN
TSLETVDHQEEEEEEQRRGDSMAGGAPAEGDYNWRKYGQKLVKGSEYPRSYKCTNPNC
QVKKKVERSREGHITEIIYKGAHNHLKPPPNNRSGMQVDGTEQVEQQQQQRDSAATWVS
CNNTQQQGGSNENNVEEGSTRFEYGNQSGSIQAQTGGQYESGDPVVVDASSTFSNDED
EDDRGTHGSVSLGDGGGGGGGGEGDESESKRRKLEFAAEMSGSTRAIREPRVVVQTT
SDVDILDDG YRWRKYGQKVVKGNPNPRSYYKCTAPGCTVRKHVERASHDLKSVITTYE
GKHNHDVPAARNSSHGGGDSGNGNSGSAAVSHHYHNGHHSEPPRGRFDRQVTTNNQ
SPFSRPFSFQPHLGPPSGFSFGLGQTGLVNLSMPGLAYGQGKMPGLPHPYMTQPVGMSEA
MMQRGMEPKVEPVSDSGQSVYNQIMSLRPQI

图 1 WRKY2 蛋白的序列分析

WRKY2 的氨基酸序列。高度保守的 WRKYGQK 和 C₂H₂ 用红色显示, 核定位信号用下划线标出

Fig. 1 Sequences of WRKY2

Amino acid sequence of WRKY2. The highly conserved WRKYGQK sequences and the residues forming the C₂H₂ zinc-fingers are in red. The putative nuclear localization signals are underlined

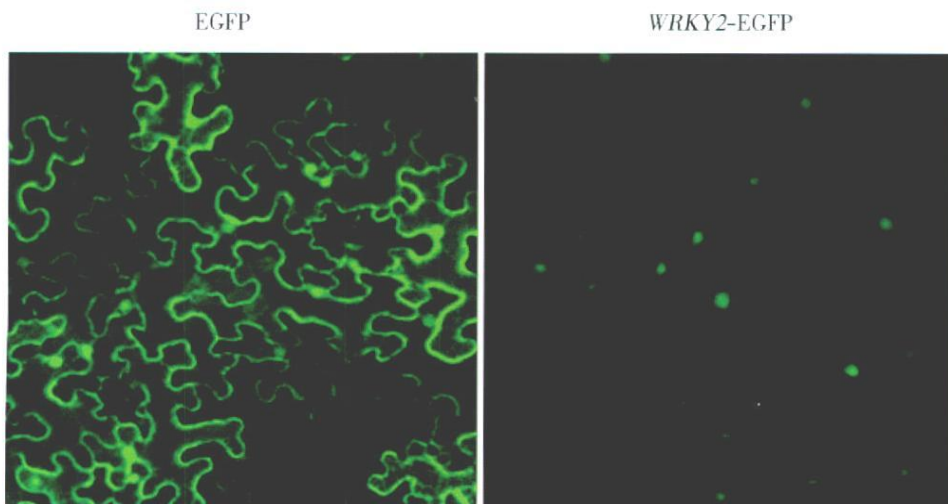


图 2 WRKY2 的亚细胞定位
WRKY2 和 EGFP 融合产生 WRKY2-EGFP。WRKY2-EGFP 融合蛋白定位于烟草叶表皮细胞的细胞核。而 EGFP 在细胞核和细胞质里均有分布

Fig. 2 Subcellular localization of WRKY2

WRKY2 was fused to EGFP to yield *WRKY2-EGFP*. The chimeric protein was localized to the nucleus of *N. benthamiana*

2.2 拟南芥 WRKY2 在不同植物器官组织中的表达分析

鉴于在正常生长的情况下, *WRKY2* 的表达水平比较低, 我们采用定量 PCR 检测 *WRKY2* 在不同器官组织中的表达。*WRKY2* 在根、茎、叶、花和果实中都有表达, 相对来说, 在叶里的表达量是最高的, 茎和花里的表达量次之, 根和果实里的表达最低 (图 3)。

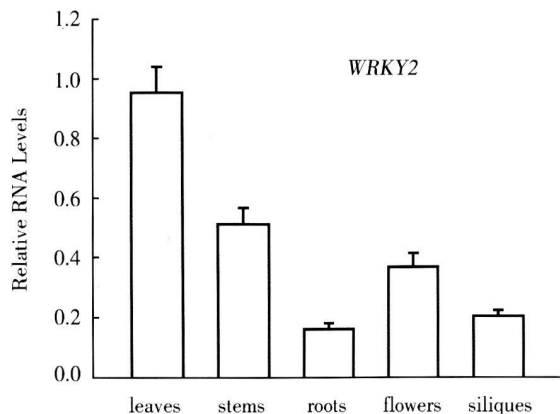


图 3 *WRKY2* 在不同器官组织中的表达分析

Fig. 3 Expression analysis of *WRKY2* in different organ and tissue

2.3 拟南芥 *WRKY2* 在各种逆境条件下的表达分析

为了研究 *WRKY2* 基因的功能, 我们分析了 *WRKY2* 在各种逆境下的表达。由于 *WRKY2* 基因的表达在叶里是最高的, 我们以叶为处理材料。首先分析了 *WRKY2* 基因对 NaCl 的响应, 结果显示: *WRKY2* 的表达受 NaCl 比较强的诱导 (图 4)。有文献报道 NaCl 主要有两方面的作用, 一方面是离子的胁迫作用, 另一方面是引起渗透胁迫 (Borsani 等, 2001; Hasegawa 等, 2000)。因此, 我们用特异引起渗透胁迫的甘露醇和一些其它的盐来处理材料, 以明确究竟是渗透胁迫还是离子的作用来诱导 *WRKY2* 的表达的。结果显示: *WRKY2* 的表达不受 KCl、LiCl、CaCl₂ 和 NaH₂PO₄ 的诱导, 而受甘露醇比较强的诱导 (图 4)。有研究表明 ABA 在渗透胁迫反应中起重要的调控作用 (Leung 和 Giraudat, 1998; Yamaguchi-Shinozaki 和 Shinozaki, 2006)。因此我们鉴定了 ABA 处理对 *WRKY2* 表达的影响。实验数据表明: ABA 处理基本上不影响 *WRKY2* 基因的表达 (图 4)。另外,

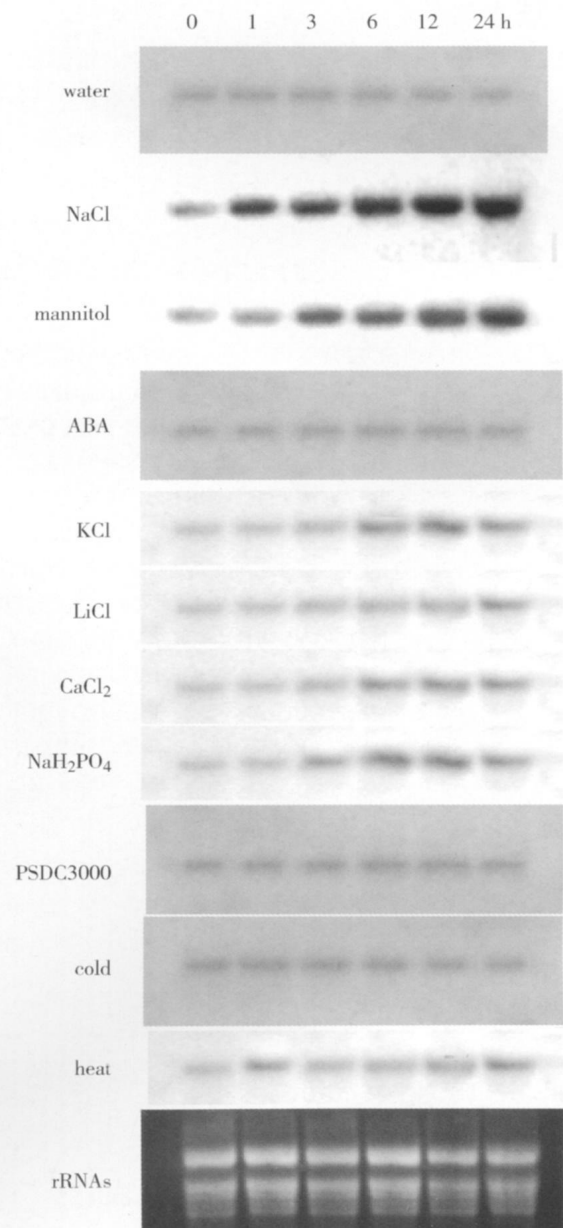


图 4 *WRKY2* 在各种逆境条件下的表达分析

Fig. 4 Expression analysis of *WRKY2* by different stress treatments

WRKY2 的表达也不受病原菌、冷害和高温的诱导。综上所述, *WRKY2* 受 NaCl 和甘露醇的诱导, *WRKY2* 可能在 NaCl 和甘露醇引起的渗透胁迫中起一定的作用。

3 讨论

本研究分析了 *WRKY2* 蛋白的结构, 其含有 2 个高度保守的氨基酸序列 WRKYGQK 和 2 个 Cys₂His₂ 锌指型结构; 在体外证实了 *WRKY2* 蛋

白与 TTGACC (W 盒) 特异地结合; 进一步明确 WRKY2 蛋白定位于细胞核, 这些结果支持了 WRKY2 是转录调控因子。

采用定量 RT-PCR 检测了 WRKY2 在不同器官组织中的表达, 结果显示 WRKY2 在根、茎、叶、花和果实中均有表达, 但在叶中的表达量最高, 茎和花中的表达量次之, 根和果实里最低。

我们以叶为处理材料, 进行了 WRKY2 在各种逆境条件下的表达分析, 实验数据表明: WRKY2 的表达受 NaCl 比较强的诱导; KCl、LiCl、CaCl₂ 和 NaH₂PO₄ 均不诱导 WRKY2 的表达; 但 WRKY2 的表达受甘露醇比较强的诱导; ABA 处理基本上不影响 WRKY2 基因的表达; 另外, WRKY2 的表达也不受病原菌、冷害和高温的诱导。由于 WRKY2 的表达受 NaCl 比较强的诱导, 而现有文献报道表明 NaCl 主要有两方面的作用, 即离子的胁迫作用和引起渗透胁迫反应 (Borsani 等, 2001; Hasegawa 等, 2000)。那么究竟是那方面的作用来诱导 WRKY2 的表达呢? 为此, 我们用特异引起渗透胁迫的甘露醇和一些其它的盐来处理材料, 以明确是渗透胁迫还是离子的作用来诱导 WRKY2 的表达的。由于其它盐基本不诱导 WRKY2 的表达, 而甘露醇很明显的诱导其表达, 因此, 我们认为渗透胁迫可能在诱导 WRKY2 表达中起重要的作用。

有文献也报道了 ABA 在调控渗透胁迫反应中起重要的作用 (Leung 和 Giraudat, 1998; Yamaguchi-Shinozaki 和 Shinozaki, 2006), 而我们的结果表明 ABA 处理基本上不影响 WRKY2 基因的表达。因此, NaCl 和甘露醇诱导的 WRKY2 的表达可能与 ABA 信号传导途径无关。通过表达分析表明 WRKY2 可能在 NaCl 和甘露醇引起的渗透胁迫反应中起一定的作用, 但 WRKY2 基因究竟是如何在这个反应中发挥作用仍然很不清楚。

致谢 Zhixiang Chen 教授 (Department of Botany and Plant Pathology, Purdue University, West Lafayette, Indiana, USA) 赠送了 T-DNA 插入的 *wrky2-2* 突变体 (Sail_739_F05)。

〔参考文献〕

- cade in *Arabidopsis* innate immunity [J]. *Nature*, **415**: 977—983
- Borsani O, Cuartero J, Fernandez JA et al., 2001. Identification of two loci in tomato reveals distinct mechanisms for salt tolerance [J]. *The Plant Cell*, **13**: 873—888
- Chen C, Chen Z, 2000. Isolation and characterization of two pathogen- and salicylic acid-induced genes encoding WRKY DNA-binding proteins from tobacco [J]. *Plant Molecular Biology*, **42**: 387—396
- Dellagi A, Heilbronn J, Avrova AO et al., 2000. A potato gene encoding a WRKY-like transcription factor is induced in interactions with *Erwinia carotovora* subsp. *atroseptica* and *Phytophthora infestans* and is coregulated with class I endochitinase expression [J]. *Molecular Plant-Microbe Interactions*, **13**: 1092—1101
- Dong J, Chen C, Chen Z, 2003. Expression profiles of the *Arabidopsis* WRKY gene superfamily during plant defense response [J]. *Plant Molecular Biology*, **51**: 21—37
- Eulgem T, Somssich IE, 2007. Networks of WRKY transcription factors in defense signaling [J]. *Current Opinion in Plant Biology*, **10**: 366—371
- Eulgem T, Rushton PJ, Robatzek S et al., 2000. The WRKY superfamily of plant transcription factors [J]. *Trends in Plant Science*, **5**: 199—206
- Hara K, Yagi M, Kusano T et al., 2000. Rapid systemic accumulation of transcripts encoding a tobacco WRKY transcription factor upon wounding [J]. *Molecular and General Genetics*, **263**: 30—37
- Hasegawa PM, Bressan RA, Zhu JK et al., 2000. Plant cellular and molecular responses to high salinity [J]. *Annual Review of Plant Physiology and Plant Molecular Biology*, **51**: 463—499
- Hinderhofer K, Zentgraf U, 2001. Identification of a transcription factor specifically expressed at the onset of leaf senescence [J]. *Planta*, **213**: 469—473
- Huang T, Duman JG, 2002. Cloning and characterization of a thermal hysteresis (antifreeze) protein with DNA-binding activity from winter bittersweet nightshade, *Solanum dulcamara* [J]. *Plant Molecular Biology*, **48**: 339—350
- Honyes D, Oh SA, Renk D et al., 2006. Identification of microspore active promoters that allow targeted manipulation of gene expression at early stages of microgametogenesis in *Arabidopsis* [J]. *BMC Plant Biology*, **6**: 31
- Ishida T, Hattori S, Sano R et al., 2007. *Arabidopsis* TRANSPARENT TESTA GLABRA2 is directly regulated by R2R3 MYB transcription factors and is involved in regulation of GLABRA2 transcription in epidermal differentiation [J]. *The Plant Cell*, **19**: 2531—2543
- Jiang Y, Deyholos M, 2009. Functional characterization of *Arabidopsis* NaCl-inducible WRKY25 and WRKY33 transcription factors in abiotic stresses [J]. *Plant Molecular Biology*, **69**: 91—105
- Johnson CS, Kolevski B, Smyth DR, 2002. TRANSPARENT TESTA GLABRA2, a trichome and seed coat development gene of *Arabidopsis*, encodes a WRKY transcription factor [J]. *The Plant Cell*, **14**: 1359—1375
- Kim CY, Lee SH, Park HC et al., 2000. Identification of rice blast fun-

- gal elicitor-responsive genes by differential display analysis [J]. *Molecular Plant-Microbe Interactions*, **13**: 470—474
- Lagace M, Matton DP, 2004. Characterization of a WRKY transcription factor expressed in late torpedo stage embryos of *Solanum chacoense* [J]. *Planta*, **219**: 185—189
- Leung J, Giraudat J, 1998. Abscisic acid signal transduction [J]. *Annual Review of Plant Physiology and Plant Molecular Biology*, **49**: 199—222
- Luo M, Dennis ES, Berger F et al., 2005. MINISEED3 (MINI3, a WRKY family gene, and HAIKU2 (IKU2, a leucine-rich repeat (LRR) KINASE gene, are regulators of seed size in *Arabidopsis* [J]. *PNAS*, **102**: 17531
- Miao Y, Zentgraf U, 2007. The antagonist function of *Arabidopsis* WRKY53 and ESR/ESP in leaf senescence is modulated by the jasmonic and salicylic acid equilibrium [J]. *The Plant Cell*, **19**: 819—830
- Pnueli L, Hallak-Herr E, Rozenberg M et al., 2002. Molecular and biochemical mechanisms associated with dormancy and drought tolerance in the desert legume *Retama raetam* [J]. *The Plant Journal*, **31**: 319—330
- Rizhsky L, Liang H, Mittler R, 2002. The combined effect of drought stress and heat shock on gene expression in tobacco [J]. *Plant Physiology*, **130**: 1143—1151
- Rizhsky L, Davletova S, Liang H et al., 2004. The zinc finger protein Zat12 is required for cytosolic ascorbate peroxidase 1 expression during oxidative stress in *Arabidopsis* [J]. *The Journal of Biological Chemistry*, **279**: 11736—11743
- Robatzek S, Somssich IE, 2001. A new member of the *Arabidopsis* WRKY transcription factor family, AtWRKY6, is associated with both senescence- and defence related processes [J]. *The Plant Journal*, **28**: 123—133
- Seki M, Narusaka M, Ishida J et al., 2002. Monitoring the expression profiles of 7000 *Arabidopsis* genes under drought, cold and high-salinity stresses using a full-length cDNA microarray [J]. *The Plant Journal*, **31**: 279—292
- Sun C, Palmqvist S, Olsson H et al., 2003. A novel WRKY transcription factor, SUSIBA2, participates in sugar signaling in barley by binding to the sugar-responsive elements of the iso1 promoter [J]. *The Plant Cell*, **15**: 2076—2092
- Ulker B, Somssich IE, 2004. WRKY transcription factors: from DNA binding towards biological function [J]. *Current Opinion in Plant Biology*, **7**: 491—498
- Yamaguchi-Shinozaki K, Shinozaki K, 2006. Transcriptional regulatory networks in cellular responses and tolerance to dehydration and cold stresses [J]. *Annual Review of Plant Biology*, **57**: 781—803
- Yu D, Chen C, Chen Z, 2001. Evidence for an important role of WRKY DNA binding proteins in the regulation of NPR1 gene expression [J]. *The Plant Cell*, **13**: 1527—1540